

(3) 構造解析モデルのもつ位相幾何学的特性の数値解析への利用

岡山大学工学部 ○谷口健男

京都大学工学部 白石成入

1. まえがき

今日行なわれている構造解析の主流はコトリクス法と呼ばれる計算機の特性を有効に利用する方法であり、様々な汎用性の高い手法の開発が行なわれた。しかししながら、これは云々換えれば、三元個性的な方法であり系の特性を利用できますが不経済な計算機利用率としては必ずしもよろしくない。この欠点を補うべく構造解析において、例えば変位法を例にとれば、扱われる行列は卓合を達成して計算の係數行列ではなく、構造系の特性を包含した行列であるとの認識より、その特性を見い出し利用しようとする考え方がある。その特徴は、並びに帶行列法やスペースマトリクス法と名づけられる。これらは行列が疎である（多くの零要素を含む）ことを利用し、消去演算において不要な零要素を可能な限り除いてしまうものである。前者は全ての非零要素を主対角に添う領域（帶幅）のみ（プロファイル）内に収めることにより外側の零要素を演算より除き、後者は行列内の非零要素のみを対象として演算を施すところである。

構造解析で扱われる行列の各要素が非零であるか、零であるかは系に設定された離散点間相互の力学的つながりと有無によるところである。従って行列のスペーシティーを利用してようとする系の物理量は無意味となり、系の位相幾何学的性質のみに注目すればよい。

これまで構造解析への位相幾何学的特性の利用は従来より行なわれてきたといえども、実際の問題へ帶行列・プロファイル法やスペースマトリクス法を適用する場合、非常に困難な問題に直面する。すなはち、前者を用いる場合にうまく節点番号を立てて非零要素領域を減少させながら、後者における場合は、いかにもうまく消去順序を立てて入力データ（非零要素数 + 消去による非零化要素数）を少くするかが問題となる。これらは帶幅（プロファイル）最小化問題、フィルイン最小化問題と呼ばれて、本質的には組み合わせ問題であるといふ。有效的アルゴリズム開発には非常な困難が予想される。本研究ではこれら2つの問題に対しあらう理論に基づく考察を行ひ、有效的手法の提案、あるとく、これらのアルゴリズム化を図る。

2. 消去演算に対するグラフ理論的考察

構造解析の分野でよくあるものは連立一次方程式

$$P = K \cdot u \quad (1)$$

における係数行列 K は正定値、対称性を有するなどが多く本論文でもこれら特性を仮定する。(1)式は計算から入消去演算を施さず、 K_{ij} (i, j)要素 K_{ij} は次式により R_{ij} と定まる。

$$R_{ij} = K_{ij} - (K_{ik} \cdot K_{kj}) / K_{ii} \quad (j, k \geq i) \quad (2)$$

(2)式より、たとえ $|K_{ij}| = 0$ であっても

$$\text{もし } K_{ik} \neq 0, K_{kj} \neq 0 \text{ ならば } R_{ij} \neq 0 \quad (3)$$

するが、消去前零である要素が消去後非零化する場合があり、このようないくつかの零要素を fill-in といふ。さて、これがこの順序がならないことをとし、(2)式における最終非零要素を K_{ij} とすれば (2)式の適用は(2)式における i 行を基準として j 行以下の部分は常に零のままである。このことより消去法は各行における最終非零要素と主対角要素の間にさまむる領域のみを扱えばよい。（帶行列法）

また、引数を用ひて、それ以下の小例の上三角化を進めたとき、もし $k_{ijk} = 0$ 、かつ $k_{jik} = 0$ ならば $\tilde{k}_{ijk} = 0$ 。すなはち、各列において最初の非零要素より下に位置する零要素のみ非零化する。このように、各列の最上非零要素と主対角要素が囲むする領域を「fill-in」ファイルと呼ぶ。(7)を例に

K の帶領域、fill-in ファイル内においても数多くの零要素がみられる。それらのうちの非零化零要素は fill-in 数であり、その数は消去順序によって変化する。実際の計算に必要な要素は(節点数 + 部分数 + fill-in 数)であり、この和が最小化を図るには fill-in 数の最小化を行わなければならない。

いま m 点より m より 1 個の構造系を考え、との例を K(m × m) で書き、K のグラフ表現を行なう。K に対して $\{1, 2, 3, \dots, m\}$ と番号を付した m 個の点を準備する。

$$\begin{cases} \text{もし } k_{ij} \neq 0 \text{ ならば } V(i), V(j) \text{ 両点を 1 本の線で結ぶ。} \\ \text{もし } k_{ij} = 0 \text{ ならば } V(i), V(j) \text{ 両点を線で結ばない。} \end{cases} \quad (4)$$

$= 2^{\circ}$ $V(i)$ は “ \times ” と番号のついた点を示す。(4)の操作で K の上三角部 ($i=1 \sim m, j=i \sim m$) に \rightarrow 行なえば、K の 1 つのグラフ表現 $G(m, m)$ を得る。 $= 2^{\circ}$ M は系に含まれる部数(力学的伝達数)である、2. $K(m \times m)$ の非零行列の数がある。

K に対する消去運算もグラフ上にあり参考してある。 $= 2^{\circ}$ グラフの距離 d を定義する。

$$d(V(i), V(j)) = 1 \text{ とは } k_{ij} \neq 0, \text{ すなはち } i, j \text{ 両点は 1 本の線で結ばれて } d = 1 \text{ ことを表す。} (3) \text{ では } "1" \text{ の時は, } G \text{ における } d(V(i), V(j)) > 1 \text{ も } d(V(i), V(k)) = d(V(j), V(k)) = 1 \text{ などは } \\ \tilde{G} \text{ における } d(V(i), V(j)) = 1 \text{ となる。} \quad (5)$$

$= 2^{\circ}$ \tilde{G} は消去後のグラフを示す。すなはち \tilde{G} では、2 体点間に新たな線が発生する。(5)式によれば、今消去しようとする点を含む部分グラフ G_S に \rightarrow 2. その線数 β は。

$$\tilde{G}_S = \{V(i_j) \mid d(V(i), V(j)) = 1\} = G_S \quad (\text{完全グラフ}) \quad (6)$$

すなはち、2 点の消去後 $\{V(i) \mid d(V(i), V(j)) = 1\}$ の全ての点は互に直接結ばれる。 G_S が $G_S(\alpha, \beta)$ \Rightarrow あれば、消去後の $\tilde{G}_S + V(i)$ における、その線数 β は。

$$\beta = \alpha(\alpha+1)/2 \quad (7)$$

従って、2 点消去にあたり発生する新たな線(fill-in)の数は

$$\text{fill-in 数} = \beta - \alpha = \alpha(\alpha+1)/2 - \alpha \quad (8)$$

(8)通り。一般的に云ふ、2. 複雑な部点数(ここで次數: deg. と略す)の多い点 $V(i)$ を消去すれば、数多くの fill-in が発生する可能性があることの導出がわかる。しかしながら $V(i)$ を含む G_S が完全グラフに近づけば fill-in の発生は少い。

3. ラベリング問題 帯領域を \rightarrow フィルの最小化。為のラベリング問題は NP-completeness¹⁾ の一つである。すなはちラベリングアルゴリズムの開発はほとんど不可能と考えられる。特に、離散点の分布状態が不均一である。また、2 体系の外周辺形状が複雑である場合、位相接するか離れて接するか等の特徴減少法では不十分な結果しか期待しない。しかしながら、

- (1). これより少なくともアルゴリズムを、外周辺形状が簡単な系に対しては良い結果を得る。
- (2). 静止基本系の 1 種を考えるトライ-グラフに対するフィル最小化法はほぼ完成してしまった²⁾。
- (3). トライ-グラフの各枝に中を持たせると外周辺形状が複雑なグラフを得る。従って、フィル法は、このような系に対し有効となる。

以上の考察より、もし系の外周辺形状が簡単な場合には帶行列法、複雑な場合にはプロファイル法を適用すればよりこの考え方が生まれます。この推論を確めるために、まず、帶行列・プロファイル型行列のグラフ表現を行います。

3.1 帶行列におけるプロファイル型行列の示すグラフ

簡単な帶行列、プロファイル型行列は図-1に示します。図-2は帶行列のグラフ表現の例です。

いつもも(e)に示すようにエントリ状グラフと考えられます。元の系が1個の連結グラフとして表現されることがあります。プロファイル行列は2つのタイプに分けられます。(図-3)

(I) 行列の主対角に沿って2带行列を形成し、いくつかの行に並んで2列の向への突出領域内にも非零要素が存在する。

(II) 行列のいくつかの行には、突出領域内に1つが非零要素が存在しない。

(I),(II)をグラフ表現したものが図-4(b), (a)に示されています。メッシュ構造、分歧を有するトリー構造をもつ。このように、非対角部の非零要素は、グラフの構造に大きな影響を及ぼす。

3.2 プロファイル法の為のラベリング³⁾

本節最初の考え方につなげます。

ラベリング法は次のようになります。

STEP1. 系を分解して簡単な部分系の集合に置換する。

STEP2. 各部分系を独立に扱い、ラベリングを行います。

STEP3. ラベルを各部分系に対し一連のラベルを付け直す。

これら3段階の為に 1. 最適切断箇所設定法、2. 簡単な部分系に対する

ラベリング法、3. renumbering 法が必要となります。

3.2.1 最適切断箇所設定法

一般的なグラフに対するアルゴリズム

では現在完結していませんが、トライ構造を用いた系に対しては下記のアルゴリズムが可能な場合があります。なお、B.P.とはある点よりの等距離集合 D_r の中の境界点が初めて3個以上になると既に属し、 D_{r-1} から $d=1$ となる点(境界点)を云う。なお、Gの直径は既知とする。

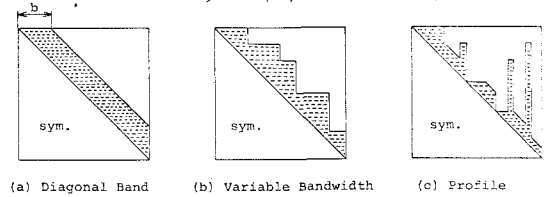
STEP1. 直径の1端より始め B.P.を探す。

STEP2. Gの直径を結ぶ邊の頂点よりなる2つ1頂点のうち一方を(+), 他方を(-)とする。

STEP3. B.P. が (+) 上にあれば (-) に、 (-) 上にあれば (+) に向かって B.P. を出発点とちよ短いパスを探す。各 B.P. の最短パスの短いものを切断指します。

STEP4. 切断線上にあら B.P. を出発点として、1. 2. 3. の操作を繰り返して G を G_i の集合に置換する。

3.2.2 部分グラフに対するラベリング法



(a) Diagonal Band (b) Variable Bandwidth (c) Profile

図-1. 帯行列におけるプロファイル型行列

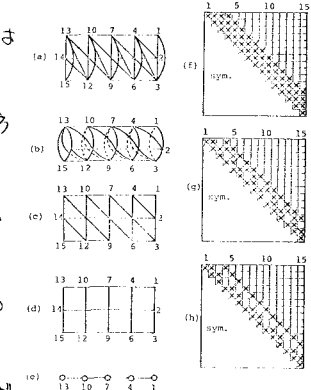


図-2. 帯行列のグラフ表現

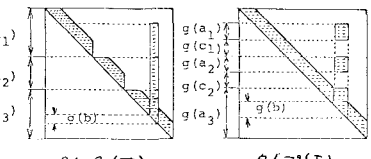


図-3 プロファイル型行列

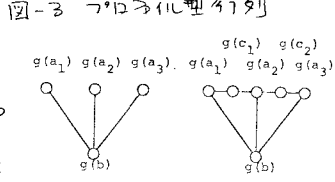


図-4. プロファイルのグラフ表現

$V(A) \cap D_r$ の in-deg. とは $V(A)$ と隣接して D_{r-1} の点数をいう。アルゴリズムは次のようにある。

STEP1. 直径の両端点のうち、out-deg. 最少の点を出発点として "m" と番号付ける。

STEP2. D_r の点に番号を付ける場合は、 D_{r-1} の out-deg. の小さいものに隣接する D_r の点から付けます。

STEP3. out-deg. 最小のものを順次削除する場合は、その中に in-deg.

最小のものにまず番号を付ける。

STEP4. 番号を付いた節点の in-deg. を消す。

STEP5. 2, 3, 4 の操作を繰り返す。ただし番号は $m, m-1, \dots, 2, 1$ で行う。

このアルゴリズムの適用例を図-5 に示す。この場合 Profile 領域は 2903, そのうち零要素は 2210。なお Band 3670 では图示帶幅減少法を用い得られた帶幅減少要素数が 3670 であることを示す。

3.2.3 Renumbering 法

2) そのうち適用せよ。

3.2.1 に示されたアーリヤジカの適用例を図-6 に示す。左図は图示帶幅減少法による結果を示す。右図は

4. 消去順序問題のグラフ理論的考察

に關する研究は、D.J. Rose などによって詳しく研究されている。

彼らの立てた方法は以下の 2 つ例あげられる。

1. Minimum Degree Algorithm (Min. Deg. Al.)

2. Minimum Deficiency Algorithm (Min. Def. Al.)

1) は系を取らねば 2) は各点の次数のうち、最小のものを順次消去を進めるという考え方(1), (2) は基準を置いた方法といえ、(2) は(1) に基準を置き、次に消去すべき点は(2) の値を最小とする諸点のうちより選択する考え方である。2) のうち 1. あり最も結果を取るが、一般には最適な解を取るとは言えない、例えば図-7(a) に示すように得られた消去順序は後の節点番号により大きく支配され、かつ非常に複雑な順序を取る。

しかししながら、現時点においては、Optimum Elimination Ordering が全くわからなくなったり、Minimum Deficiency Algorithm を用いて、また幾何的なグラフの消去順序を定め、その結果に対する Min. Def. Al. の特性を考慮しながら、今一度 reordering を行う。この reordering の操作は手をもって行い、以下に示す 2 つの目的:

1). fill-in 数は少くても Min. Def. Al. を用いた時の値より

少いと善し。

2). Reordering は、必ず統一してプロセッサー上で行うこと。

云々換えていえば、Min. Def. Al. のときの消去順序より複雑

でない。

を満足するかのだけれどそらなし。

Band Profile 3670
2903

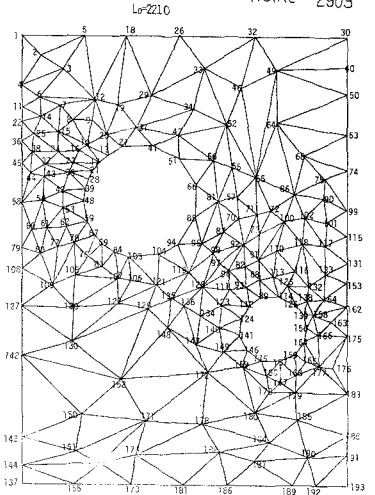


図-5. 3.2.2 のアルゴリズム適用例。

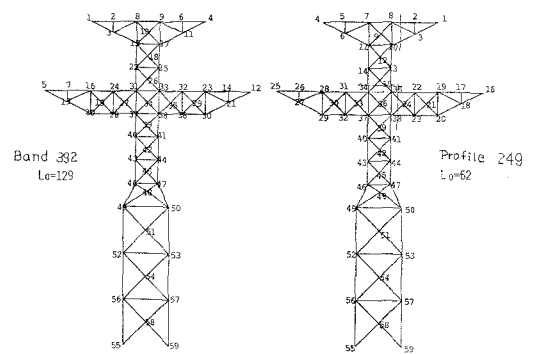


図-6. 3.2 のアルゴリズム適用例。

1	5	18	6	2
9	13	19	16	10
20	21	17	23	23
7	14	24	15	12
3	11	25	8	4

TOTAL FILL-IN = 37
(a)

1	3	9	17	6
7	10	16	18	24
13	15	20	21	14
23	22	19	11	8
5	23	12	4	9

TOTAL FILL-IN = 29
(a)

1	2	4	25	18
3	5	8	24	19
6	7	23	18	13
21	20	16	12	11
17	22	14	10	9

TOTAL FILL-IN = 28
(b)

1	5	10	6	2
5	10	15	17	12
25	19	23	21	22
13	16	20	18	14
3	8	11	13	9

TOTAL FILL-IN = 24
(a)

1	2	18	10	11
3	5	13	15	12
25	19	23	21	22
6	8	20	17	16
5	7	14	11	13

TOTAL FILL-IN = 24
(b)

図-7. 節点消去順序の比較

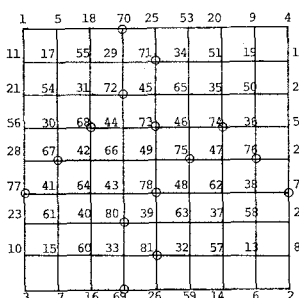
このように既定実験のために選ばれた例題が図-7に示す3種類のグラフである。上述のように Optimum Ordering が全く不明であるにせよ、外周近似形が最も簡単な正方形をしており、点密度一定のグラフであり、変化させたのは線の配置のみである。

図-7(a)の3つの結果に共通する注目すべき事柄は、1~25の消去順序のうち、最後の9個の番号(17~25)は全2. グラフを4分割する点にかけられることである。特に、元1×4×3のグラフにあり2は、正確に4等分割される。

Min. Def. Al.による結果に対して、そのアルゴリズム固有の特性を考慮しながら、今一度手でもう1回 Reordering を行つた結果は図-7(b)に示す。Reordering Procedure は、Min. Def. Al. により4分割された部分グラフをどうやって独自に経験に基づく消去順序で走らせるかという方略である。ちなみに、部分グラフ内には一連の番号が走らせる。この3例にあり2は、Reorder した結果のうち、Min. Def. Al. の走る順序よりも少し早いという結果を得た。なお、この3例に限らず、Reorderedした結果得られた消去順序は Optimum かつかめども確認されない。このより、Min. Def. Al. を適用して時間やメモリ複雑度 ordering は、少なくとも Min. Fill-in で与える ordering の特性とは全く、この手法の性質の1つであることがわかる。

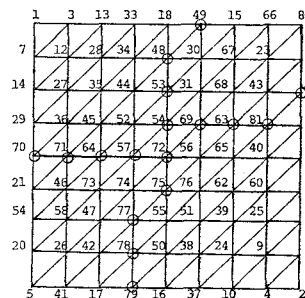
ここに示した Reordering Procedure を更に大きく拡張した結果は図-8に示す。これらも、前例と全く同様に、Reordering した結果の方が Min. Def. Al. の結果より良いことは明らかである。

以上のお詫びでも述べるように、対象とするグラフを4分割した部分グラフ内の全ての点消去の

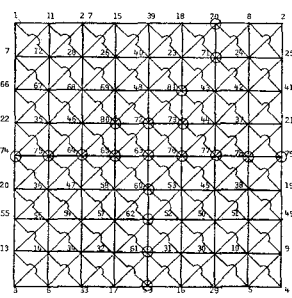


TOTAL FILL-IN = 246

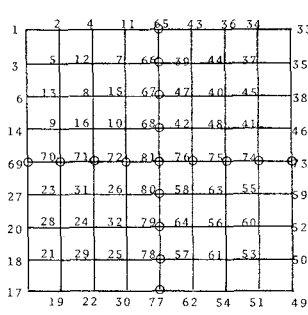
(a) Elimination Ordering by Min. Def. Al.



(a) Elimination Ordering by Min. Def. Al.

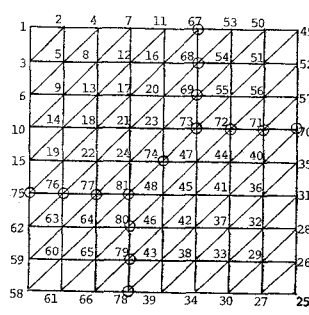


(a) Elimination Ordering by Min. Def. Al.

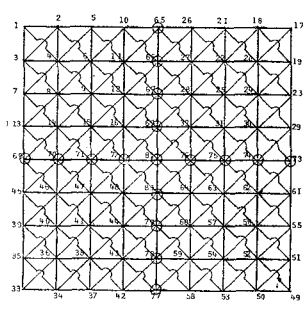


TOTAL FILL-IN = 250

(b) Elimination Ordering by Proposed Method



TOTAL FILL-IN = 267



(b) Elimination Ordering by Proposed Method

図-8. Min. Def. Al. による結果をもとに Reordering L て 3 例 題

終ア後、部分グラフ間の境界を構成する節点が消去される。いい換えれば、グラフの1点より他の点に隣接、もしくは近傍に位置する諸点が順次消去されるが、消去された領域の前面に位置する諸点（これらは、それらのみで部分完全グラフを構成し、このG_cを Frontal Vertex Group (= FVG と呼ぶ) と呼ぶことにする）の数がまる倒数になつた時、その以上他の領域を拡大するまで節点消去が行なわれる、他の領域内の点に次の消去順序が移動するのか fill-in 最小化の本質であるように思われる。以下、この推論の裏付けを行つ。

いま1つのグラフGを考える。Gを対象として最適な節点消去法を随時選び進んだ時を考えると、Gは消去された点グループと未消去節点グループの2つの部分に分けられる。消去された節点グループに隣接ある未消去節点グループに属する点は1個以上のFVGを構成する。

Gの中のいくつかの点グループをGより除くことにより、Gを2個の部分グラフに分離せよとす、これら点グループを Separator, S, と呼ぶことにする。SにおけるSは数多く見り出すことができるが、最大Separatorのうちの最小のものを Minimum Separator (M.S.) と呼ぶことにす。M.S. はグラフの最大中の最小値といふものである。このように M.S. と FVG には次のような関係があり立つ。

$$M.S. \text{ 内に含まれる節点数} \geq 1 \text{個の最大FVGに含まれる節点数} \quad (9)$$

すなはち、Vertex Elimination が Optimum である限りにおいては、Elimination Processにおいては必ず M.S. 内に含まれる節点数以下であることを示す。(9)式は示す。上に述べた諸例においては、例2は 9×9 のメッシュ系(図-8)においては、M.S. は9個の点を含むことより、4隅より消去され進んでFVGのうちの最大FVGは明らかに9個以下の点しか含まず、最大FVGが(9)式を満足しないの範囲(9個の点)に達した時点が他の領域に消去が移動する。このように境界状態の最大FVGの前面に位置する諸点が、全体系を4個の部分グラフに分割する節点グループで構成される。

このように(9)式は 上記諸例に共通した特性、すなはちG内の消去は、Gを4分割し2. 各部分グラフについて独立に消去を行えばよいという事実の1つの裏付けを示すものなり、これら部分グラフの消去が完了した時、すなはち残る点は全22個以上のFVGに含まれることより残るVertex Eliminationは必然的に その点の属する全22個のFVGより新たに大きな1個のFVGを構成せしめ、従つて、このように状態にあり2つは、(9)式はがり立ちない。すなはち このようにして複数個のFVGの合併によって生じた1個のFVGに含まれる節点数は明らかに M.S. に含まれる節点数より多い。しかししながら、このようにFVGの合併にあり2つ、新たに Fill-in の発生がみられるのは、合併する複数個のFVGに含まれる節点のうち、互に共有しない節点間にあり2つあり、このような互に共有しない点の2つを考慮すれば、このようにFVGの合併時にあり2つも(9)式が成り立つことと見える。このように、(9)式は、本節の通り扱い、左諸例につけられ立ち、従つて4分割するより基本的な考え方の正当性を保障する。

この基本的な考え方を更に一般的なグラフに適用した結果を、図-9に示す。これらの中には(9)式に示した値が Min. Det. A1. にて、2重子子 Fill-in 数であり、ReorderingによるFill-in の方が少い。更に一般的な系への適用例が図-10に示される。

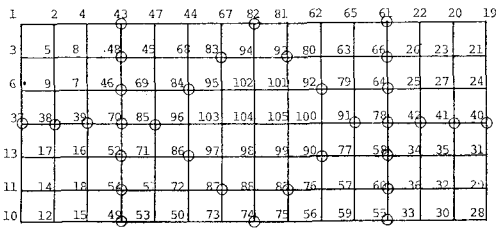
本節が示した様な例題の結果、および(9)式を基にすれば、Fill-inを最小化(および減少)させき目的で²⁾の Vertex Elimination Ordering の基本的戦略は、

1. G を(9)式を満たすように 11 つからの部分グラフの集合に置換する。
2. 各部分グラフにつき独立に節点消去順序を最適化を行う。
3. 部分グラフ間に位置する TVG に含まれる点の消去順序を定める。

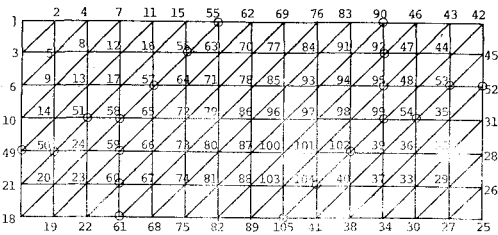
の3つありますと考えられます。この考え方には従来は、各部分グラフ内の全ての点は順次引まつつき消去されることがあります。特に対角系加△要素や□要素があり構成上少しあれど、第3節で示した“簡単な外周辺形状”を有する系に対する Profile 法の為の Labeling Algorithm の適用が可能となる。また□要素の系についでもある程度消去が進んだ段階で上記(1)～(3)の適用が可能となります。

5. あとがき 本報文におけるグラフ理論を基に、直立一次方程式の消去演算プロセス および 带行列法、アロツカル法のための最適節点番号付け問題、スペースストリクタ入法のための最適節点消去順序問題を取り扱った。前者については、系の位相構造による用いる解法を変えるという考え方を提案され、この提案によりいかゆる NP-complete 問題を扱いや可能な問題に書き換えることを示した。同時に、実際的な Labeling Algorithm の提案が行なわれた。後者については、一種の数値実験の結果に対するグラフ理論的考察による)。Fill-in 最小化のための基本的戦略を示した。最小帶幅問題、最小アロツカル問題、最小フィルカル問題に共通する系の位相幾何学的特徴は、(9)式が示すようにグラフ上であることを判明した。しかしながら、依然多くの問題点が未解決のままであり、今後の解決にあたっては 本研究と同様にグラフ理論に基づくアプローチが必要である。

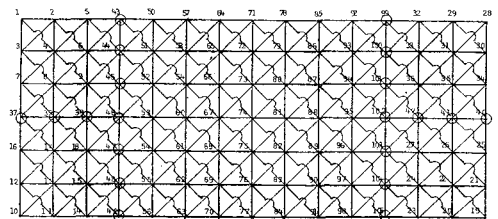
- 参考文献
- 1). Ch.H.Papadimitriou,"The NP-Completeness of the Bandwidth Minimization Problem", Computing 16, pp.263-270, 1976
 - 2). 白石成入・谷口健一, “構造解析のための節点番号付け最適化手法について”, 電算機利用に関するシンポジウム, pp. 5-8, 1976
 - 3). 白石成入・谷口健一, “複雑な形状をもつ構造物に対する節点番号付け法について”, 第3回電算機利用に関するシンポジウム, pp. 81-84, 1978
 - 4). D.J.Rose,"A Graph-Theoretic Study of the Numerical Solution of Sparse Positive Definite Systems of Linear Equations", Graph Theory & Computing, pp. 183-217, 1972



TOTAL FILL-IN = 295 (312)



TOTAL FILL-IN = 335 (347)



TOTAL FILL-IN = 352 (396)

図-9. Reordering による消去順序

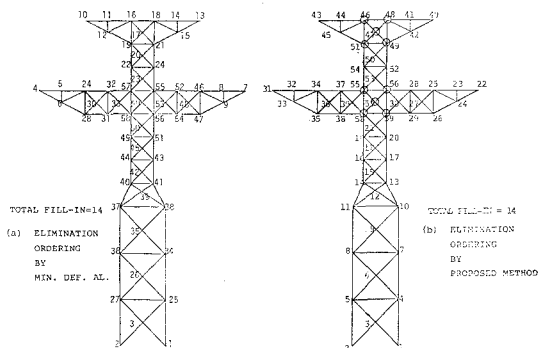


図-10. Min.Def.Al. & Reordering 法の比較

(9)式が示すようにグラフ上であることを判明した。しかししながら、依然多くの問題点が未解決のままであり、今後の解決にあたっては 本研究と同様にグラフ理論に基づくアプローチが必要である。

- 参考文献
- 1). Ch.H.Papadimitriou,"The NP-Completeness of the Bandwidth Minimization Problem", Computing 16, pp.263-270, 1976
 - 2). 白石成入・谷口健一, “構造解析のための節点番号付け最適化手法について”, 電算機利用に関するシンポジウム, pp. 5-8, 1976
 - 3). 白石成入・谷口健一, “複雑な形状をもつ構造物に対する節点番号付け法について”, 第3回電算機利用に関するシンポジウム, pp. 81-84, 1978
 - 4). D.J.Rose,"A Graph-Theoretic Study of the Numerical Solution of Sparse Positive Definite Systems of Linear Equations", Graph Theory & Computing, pp. 183-217, 1972

Application of Topological Characteristics of Structural Model
to Matrix Methods

Takeo Taniguchi* Naruhito Shiraishi**

This study is concerned with the graph-theoretic approach to the minimization problems of bandwidth, profile and fill-in which are necessary for the effective utilization of the band matrix method, the profile method and the sparse matrix method, respectively. These minimization problems are evidently the combinatorial ones and it is already known that they belong to the Non-deterministic Polynomial-Time Complete Problem, that is, it may be almost impossible to give effective algorithms for these minimization procedures.

Though the profile method is a variation of the band matrix method, they are effectively applied to quite different two types of matrices; the band matrix method is used only for the band-formed matrix, and the profile method can treat non-banded one. A non-zero element in a structural coefficient matrix represents the existence of physical path connecting two nodes, and, therefore, the matrix is equivalently replaced by a graph. Hence, above two methods are effectively applied to different structural systems whose graphs are quite different, each other. Above consideration leads to the conclusion that we should select an effective numerical method in accordance with the type of graph obtained from the structural model. By the introduction of the additional procedure of selecting a numerical method before node-labeling for a structural model we can restrict the types of structures be treated by one numerical method and, hence, the authors could propose effective algorithm of node-labeling for the band matrix method and the profile method.

On the other hand, the optimum vertex elimination procedure which give the minimum value of fill-in is not known at present. The authors applied, at first, the minimum deficiency algorithm proposed by D.J. Rose to some graphs and they could give better results by reordering obtained vertex elimination processes taking into consideration of the properties of the algorithm.

The results of these numerical experiments are summarized as follows:

1. Optimum vertex elimination may be done by treating a given graph as a gathering of some subgraphs.
2. The maximum width of a graph decides the maximum length of the cutting lines which tear a graph into subgraphs.
3. All the vertices in each subgraph are successively eliminated.

The most valuable result of this investigation is that the width of a graph representing a structural model is the common factor for the minimization problems of the bandwidth, profile and fill-in.

.....

* Department of Civil Engineering, Okayama University

** Department of Civil Engineering, Kyoto University